

SrSi₂O₂N₂:Eu²⁺ 荧光粉的制备及性能研究

孟小康^{1,2} 谭 劲^{*,1,2} 雷 婷¹ 张 玮¹ 鄢 维¹ 李聪明¹ 孙夏微¹

(¹ 中国地质大学材料与化学学院, 武汉 430074)

(² 中国地质大学教育部纳米矿物材料及应用工程研究中心, 武汉 430074)

摘要: 以 SrCO₃, Si₃N₄, Eu₂O₃ 为原料, 在 N₂ 气氛下, 采用自还原高温固相法制备了 SrSi₂O₂N₂:Eu²⁺ 荧光粉。研究了该荧光粉的物相结构、发光性能和晶体形貌, 同时对比在不同气氛下合成的荧光粉。结果表明, 在 N₂ 气氛与 N₂/H₂ 气氛下分别合成的 SrSi₂O₂N₂:Eu²⁺ 荧光粉物相结构和光谱特性基本一致。显示出合成了主晶相 SrSi₂O₂N₂, 但还含有少量未知的中间项。Eu²⁺浓度的变化不影响激发状态, 而发射光谱的波长在 Eu²⁺浓度为 1mol%~20mol% 之间, 从 530 nm 的绿光红移至 550 nm 的黄绿光区域。同时, 激发光谱覆盖的范围宽, 均能有效的被 UV 或蓝光激发, 这意味着该类荧光粉在白光 LED 方面有可能得到广泛的应用。

关键词: SrSi₂O₂N₂:Eu²⁺; 荧光粉; 发光性能; 白光 LED

中图分类号: O614.33+8; O482.31

文献标识码: A

文章编号: 1001-4861(2012)05-0893-05

Preparation and Properties Characterization of SrSi₂O₂N₂:Eu²⁺ Phosphors

MENG Xiao-Kang^{1,2} TAN Jin^{*,1,2} LEI Ting¹ ZHANG Wei¹ YAN Wei¹ LI Cong-Ming¹ SUN Xia-Wei¹

(¹ Faculty of Material Science and Chemistry, China University of Geosciences, Wuhan 430074, China)

(² Engineering Research Center of Nano-Geo Materials of Ministry of Education,

China University of Geosciences, Wuhan 430074, China)

Abstract: Eu²⁺ doped SrSi₂O₂N₂ phosphors were prepared by the auto-reduction solid-state reaction method using the SrCO₃, Si₃N₄, and Eu₂O₃ as the starting materials under N₂ atmosphere. The structural characterization, luminescence spectra and the crystal morphology of the synthesized phosphors were investigated. The phosphors synthesized under different atmosphere were also analyzed. The X-ray diffraction patterns of synthesized phosphors are indexed to the SrSi₂O₂N₂ phase and an unknown intermediate phase. The shape and position of excitation band are not greatly influenced by the Eu²⁺ concentration. However, a systematic red shift of the emission band is observed as the Eu²⁺ concentration increase from 1mol% to 20mol%, resulting in a green-greenish yellow emission peaking from 530 to 550 nm. Meanwhile, this oxynitride phosphors have a broad excitation band extending from ultraviolet to visible light rang, enabling them to be used for white light-emitting diodes (LED) when an ultraviolet or blue LED chip is combined.

Key words: SrSi₂O₂N₂:Eu²⁺; phosphors; luminescence; white LED

发光二极管(Light-emitting Diodes, LED)是一种能够直接将电能转化为光能的半导体, 具有体积小、寿命长、光效高、无辐射与低功耗等优点, 被誉为是“21世纪绿色光源”。目前 LED 已广泛应用于

景观照明、交通、室内装饰性以及显示等领域^[1-3]。白光 LED 技术主要是利用 LED 芯片发射的蓝光激发荧光粉而实现白光发射^[4]。荧光粉作为白光 LED 不可缺少的部分, 其作用至关重要, 它的性能直接影响

收稿日期: 2011-10-31。收修改稿日期: 2011-12-05。

国家自然科学基金(No.40643018)资助项目。

*通讯联系人。E-mail:jintan_cug@163.com

响白光LED的亮度、色坐标、色温及显色性等^[5-7]。

荧光粉根据基质体系的不同可分为硅酸盐体系、铝酸盐体系、磷酸盐体系、钇铝石榴石体系、硫化物体系和氮(氧)化物体系等。氮(氧)化物体系作为一类新型的无机发光材料,以其优良的发光性能和化学稳定性受到广泛的关注,并得到迅猛发展。近年来,国内外相继出现了以稀土掺杂的硅基氮(氧)化物荧光材料的报道,如:MSi₂O₂N₂:Eu²⁺^[8-10], M₂Si₅N₈:Eu²⁺(M=Ca, Sr, Ba)^[11-13], CaAlSiN₃:Eu²⁺^[14-15]等。氮(氧)化物相对于硫化物和氧化物来说,它弥补了氧化物体系在可见光区的吸收效率比较低,很难与Ga(In)N蓝光芯片匹配;硫化物体系的热稳定性比较差,并且容易潮解等缺陷。同时,由于N³⁺具有相对较小的电负性,与Eu²⁺之间的共价性较强,使得电子云膨胀效应扩大,有效的促进稀土发光离子的5d能级在晶体场中的分裂,从而使5d→4f之间能级跃迁的能量减小,导致荧光粉的宽带激发和宽带发射特性,谱峰位置表现出红移现象^[3,16-17]。利用这一性质,我们可以通过改变Eu²⁺浓度来调节荧光粉的发光范围,从而满足不同场合的需要^[10]。氮(氧)化物结构的多样性决定了它具有多种发光颜色,近乎覆盖了全可见光区域,且激发范围宽,与近紫外或蓝光(发射波长为450~470 nm)的半导体芯片匹配较好,因此这类荧光粉可以作为一种适合封装白光LED的荧光材料。

目前报道的大部分合成条件是在N₂/H₂气氛下进行,如在ZHANG^[17]研究SrSi₂O₂N₂:Eu²⁺, GU^[10]报道CaSi₂O₂N₂:Eu²⁺和Li^[9]报道的MSi₂O₂N₂:Eu²⁺(M=Ca, Sr, Ba)中都加入了H₂作为还原气氛。关于在只有纯N₂气氛下反应的报道较少,由于原料反应过程中能产生还原气体,此还原气体足以提供反应进行下去。这种方案不仅节约资源,降低成本,同时减少H₂存在可能造成的危险。为了进一步查明化学成分和合成条件对这种很有发展潜力的荧光材料的影响,本实验以氮化物为基质,以稀土离子Eu²⁺为发光中心,采用高温固相法分别在N₂/H₂和纯N₂气氛下合成SrSi₂O₂N₂黄绿色荧光粉,重点分析讨论了纯N₂气氛下合成荧光粉的物相结构、光谱特性和晶体形貌。

1 实验部分

1.1 发光材料SrSi₂O₂N₂:Eu²⁺的合成

采用自还原高温固相法合成SrSi₂O₂N₂:Eu²⁺,根据化学计量比称取原材料SrCO₃(99.99%,国药集团

化学试剂有限公司),Si₃N₄(99%,合肥开尔纳米能源科技股份有限公司),Eu₂O₃(99.99%,上海跃龙新材料股份有限公司)。并添加一定量的NH₄F(1wt%)作为助熔剂。采用无水乙醇作为研磨介质,在玛瑙研钵中充分研磨约1 h,使其均匀混合。然后装入刚玉坩埚,放入氧化铝管式气氛炉(合肥科晶材料科技有限公司,GSL-1600X)中进行,分别为在V_{N₂}/V_{H₂}=10/1和N₂气氛中1400 °C下保温6 h。经冷却,研磨后得到样品粉末。

合成化学方程式如下^[18]:



1.2 表征

采用德国Bruker AXS D8-Focus型X射线衍射仪(X-ray diffractometer, XRD),Cu靶,K α 辐射($\lambda=0.154\text{0598 nm}$),工作电压40 kV,工作电流40 mA,步长为0.01°的测试条件对样品进行物相结构分析;采用Fluoromax-4P型荧光光谱仪测定样品的激发光谱和发射光谱,激发光源为150 W Xe灯,扫描速度2 nm·s⁻¹,狭缝宽度0.5 nm。采用FEG450型扫描电子显微镜(SEM),对样品的表面形貌,显微结构进行表征以及简单的粒径测试。

2 结果与讨论

2.1 SrSi₂O₂N₂:Eu²⁺的物相及烧结体形貌分析

图1为分别在V_{N₂}/V_{H₂}=10/1(a)和纯N₂(b)气氛下,在1400 °C,保温6 h合成Sr_{1-x}Eu_xSi₂O₂N₂(x=3 mol%)样品的XRD图,图中显示出两者峰基本一致,说明是否通入H₂对样品的结构没有影响。这是因为参加反

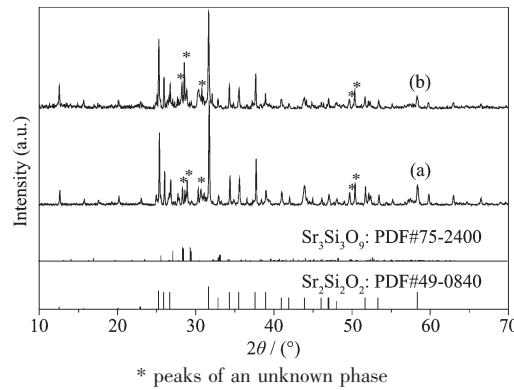


图1 Sr_{1-x}Eu_xSi₂O₂N₂(x=3 mol%)样品在V_{N₂}/V_{H₂}=10/1 (a)和N₂ (b)气氛下合成的XRD图

Fig.1 XRD patterns of Sr_{1-x}Eu_xSi₂O₂N₂ (x=3 mol%) phosphors under V_{N₂}/V_{H₂}=10/1 (a) atmosphere and under N₂ (b) atmosphere, respectively

应原料在高温下产生 CO,从而自身能够提供合成所需的还原气氛,其合成反应的关系如式(1)所示。

图 1 显示出主晶相 SrSi₂O₂N₂ 已经合成,衍射峰较强,结晶较好,主要衍射峰的位置分别位于 $2\theta=12.73^\circ, 25.42^\circ$ 和 31.76° 。对照前人合成的 Sr[Si₂O₂N₂] 化合物^[8-9],其 XRD 较强峰的峰值位于 $2\theta=12.61^\circ, 25.39^\circ, 31.72^\circ$,与我们所合成样品的 XRD 图中数据比较符合。与 SrSi₂O₂N₂ 的 PDF 标准卡片(No.49-0840)对比发现,合成样品的 X 射线衍射峰位置与标准图符合良好。实验合成的样品为 Sr_{1-x}Eu_xSi₂O₂N₂ ($x=3\text{ mol}\%$) 连续固溶体。SrSi₂O₂N₂ 化合物为单斜晶系结构^[19-20],空间群为 $P2_1/m$,这种化合物为 [Si₂O₂N₂]²⁻ 层状结构材料,由 SiO₃ 四面体组成。1 个 N 原子连接 3 个 Si 原子,O 原子的末端连接 2 个 Si 原子,在这个四面体结构中,存在 4 个阳离子 Sr²⁺ 位置,每个 Sr²⁺ 都被 6 个 O 配位^[8,18-19]。由此可见,当 Eu²⁺ 替代 Sr²⁺ 进入晶格时,每个 Eu²⁺ 都被 6 个 O 配位。

同时样品(a)和(b)的 XRD 衍射峰还显示出少量

的杂相,前人报道^[19,21]采用高温固相法合成的 SrSi₂O₂N₂ 样品常产生中间杂相(图中标 * 谱峰),所产生的中间相为 Sr₂SiO₄ 和 SrSiO₃。这是因为在制备样品过程发生了过氧化反应^[22]。结合本实验合成样品的衍射峰观察到杂相为 SiO₂ 相(有多种 SiO₂ 晶型)和 Sr₂Si₃O₉ 相(No.75-2400),这是因为 Sr/Si 比例的控制对合成纯相氮氧化物(SrSi₂O₂N₂)影响很大,同时由于氮氧化物反应条件苛刻,对外界因素反应很敏感,从而很难制备出纯相的 SrSi₂O₂N₂ 荧光粉。

图 2 为煅烧温度 1400 ℃ 时,N₂ 气氛下保温 6 h 合成的 SrSi₂O₂N₂:Eu²⁺ 样品的烧结状态 SEM 图,通过高温固相法合成的样品形貌不太规则,但主要呈现片状特点,如(a)所示,出现局部尺寸较大的片状晶体。部分晶体未生长完全,晶体大小分布不均,大小约为 1~5 μm。图 2(b)为在更高放大倍数下的晶体形貌图,观察到晶体发育的片状晶形更明显,并呈现多孔烧结现象。这与高温固相法的煅烧温度高和保温时间长有关。

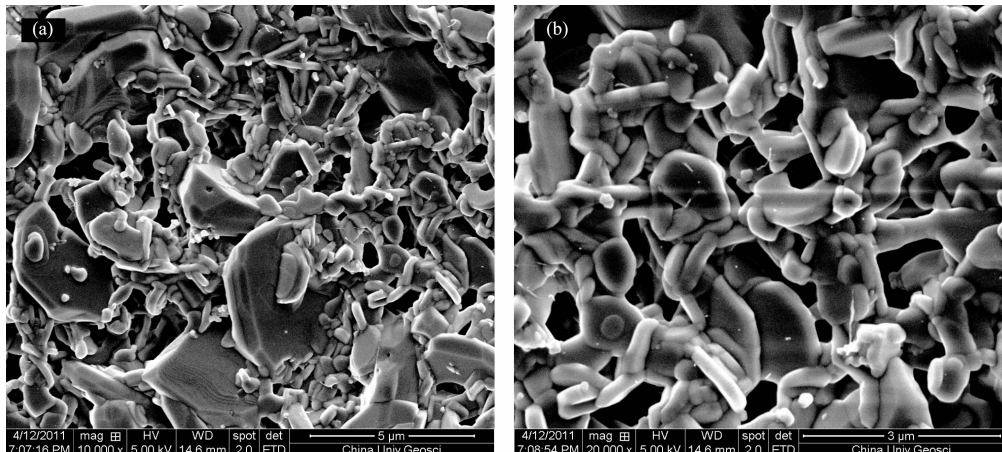


图 2 SrSi₂O₂N₂:Eu²⁺ 样品的 SEM 图

Fig.2 SEM images of SrSi₂O₂N₂:Eu²⁺ samples

2.2 SrSi₂O₂N₂:Eu²⁺ 的光谱特性

图 3 为在不同气氛下合成 Sr_{1-x}Eu_xSi₂O₂N₂ ($x=3\text{ mol}\%$) 的激发和发射光谱,从图中可看到其光谱形状一致,说明在这两种不同气氛下对合成的样品没有影响。从图中可看到其激发和发射光谱都是宽波段的单峰结构,激发范围很好的覆盖了从蓝光到近紫外的大部区域,峰值位于 410 nm 处。这是由于 Eu²⁺ 离子的 $4f^7 \rightarrow 4f^65d^1$ 的跃迁。发射光谱峰值位于 533 nm 处,发射黄绿光。从发射光谱的宽带特征来看,Sr_{1-x}Eu_xSi₂O₂N₂ 的发射主要对应着 Eu²⁺ 离子 $4f^65d^1 \rightarrow 4f^7$ 跃迁^[23-24]。另外,从激发光谱所覆盖的范围还可以看到,这类荧光粉可以有效的被 UV 或蓝光激发,

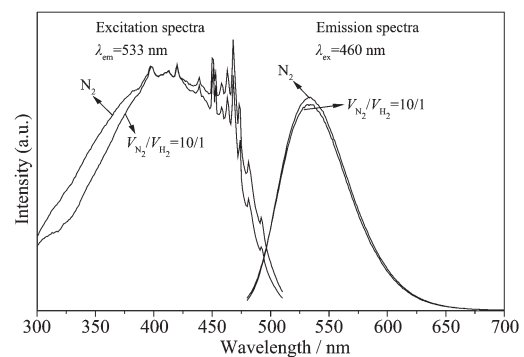


图 3 Sr_{1-x}Eu_xSi₂O₂N₂ ($x=3\text{ mol}\%$) 样品的激发和发射光谱

Fig.3 Excitation and emission spectra of the Sr_{1-x}Eu_xSi₂O₂N₂ ($x=3\text{ mol}\%$) phosphors

因此在白光LED领域有着很广阔的应用前景。

2.3 Eu²⁺浓度对发光性能的影响

图4a为掺杂不同Eu²⁺浓度的Sr_{1-x}Eu_xSi₂O₂N₂(x=1mol%~20mol%)荧光粉的激发光谱,可以看出激发带的位置与Eu²⁺浓度无关,为320~480 nm之间的宽带激发(激发光谱在450~500 nm之间的锐线峰为仪器

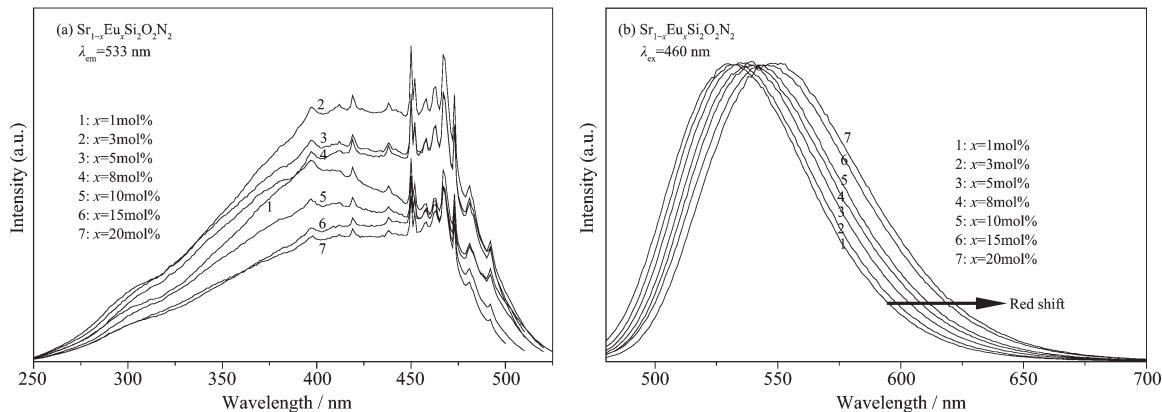


图4 不同Eu²⁺掺杂浓度Sr_{1-x}Eu_xSi₂O₂N₂(x=1mol%~20mol%)样品的激发光谱(a)和发射光谱(b)

Fig.4 Excitation (a) and emission (b) spectra of the Sr_{1-x}Eu_xSi₂O₂N₂(x=1mol%~20mol%) phosphors with various Eu²⁺ concentrations

图5是发射光谱的波长与Eu²⁺浓度(x=1mol%~20mol%) 的关系曲线,可见随着Eu²⁺浓度的增加,发射峰值向长波方向移动。这是因为Eu²⁺离子的半径(0.109 nm)小于Sr²⁺离子半径(0.113 nm),Eu²⁺浓度增加使晶格发生收缩,晶体场强度增大^[25-26],5d能级在晶体场中的分裂,从而使5d→4f之间的能级差减小^[3,16],导致发射波长由530 nm红移至550 nm。

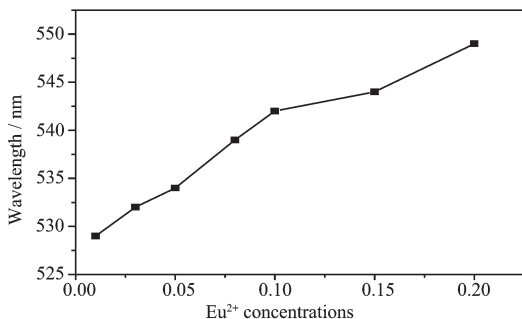


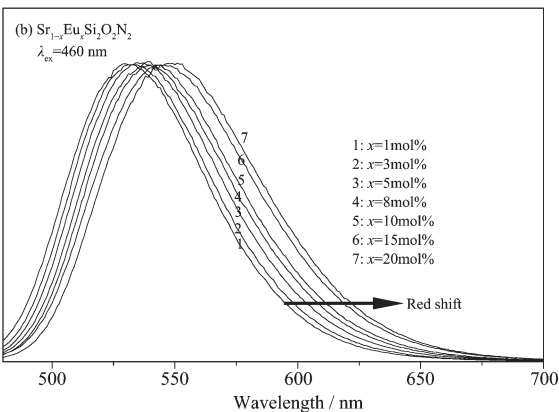
图5 Sr_{1-x}Eu_xSi₂O₂N₂(x=1mol%~20mol%)样品的发射光谱峰值随Eu²⁺浓度变化

Fig.5 Dependence of emission peak on the Eu²⁺ concentration in Sr_{1-x}Eu_xSi₂O₂N₂ phosphors

3 结 论

采用自还原高温固相法在N₂气氛下,1400 ℃,保温6 h条件下成功合成了SrSi₂O₂N₂:Eu²⁺荧光粉,XRD分析结果显示SrSi₂O₂N₂相中包含少量SiO₂相和Sr₃Si₂O₉相。这表明氮氧化物荧光粉合成条件较

本身产生了信号干扰,是Xe灯的背景峰,图3也是如此)。但图4b显示出发射波长随Eu²⁺浓度的增加而增加,Eu²⁺浓度在x=1mol%~20mol%之间,峰值在530~550 nm范围内,观察到发射峰有明显的红移现象。利用这一性质,我们可以通过改变Eu²⁺浓度来调节荧光粉的发光范围,从而满足不同场合的需要^[10]。



苛刻,较难合成纯相。光谱分析显示SrSi₂O₂N₂具有优良的发光性能,激发峰位于蓝光至近紫外光波段,另外还发现,随着Eu²⁺浓度由1mol%增加至20mol%,发射波长由530 nm的绿光红移至550 nm的黄绿光波段。通过SEM观察到样品形貌不规则,呈现片状特点,粒子大小约为1~5 μm。可见SrSi₂O₂N₂:Eu²⁺荧光粉可以和蓝光或近紫外光LED芯片配合使用,对制成高光效的白光和黄绿光-黄光LED光源具有潜在的应用价值。

参 考 文 献 :

- [1] Xie R J, Hirosaki N. *Sci. Technol. Adv. Mater.*, **2007**, *8*(7/8): 588-600
- [2] Yamamoto H, Matsuzawa T. *J. Lumin.*, **1997**, *72*(4): 287-289
- [3] LUO Xi-Xian(罗昔贤). *J. Chin. Ceram. Soc. (Guisuanyan Xuebao)*, **2008**, *36*(9): 1335-1342
- [4] XU Xu-RONG(徐叙瑢), SU Mian-Zeng(苏勉曾). *Luminescence and Luminescent Materials*(发光学与发光材料). Beijing: Chemical Industry Press, **2004**: 477
- [5] Xie R J, Hirosaki N, Mitomo M. *Appl. Phys. Lett.*, **2006**, *88*(10): 101104
- [6] Piao X Q, Horikawa T, Hanzawa H, et al. *Appl. Phys. Lett.*, **2006**, *88*(16): 161908
- [7] LINHai-Feng(林海凤), WANG Hai-Bo(王海波), ZHANG Rui-Xi(张瑞西), et al. *Mater. Rev.(Cailiao Daobao)*, **2010**, *24*(11): 10-13

- [8] Bachmann V, Justela T, Meijerink A, et al. *J. Lumin.*, **2006**,*121*(2):441-449
- [9] Li Y Q, Delsing A C A, Hintzen H T, et al. *Chem. Mater.*, **2005**,*17*(12):3242-3248
- [10] GU Yun-Xin(谷鋆鑫), WANG Hong-Zhi(王宏志), LI Yao-Gang(李耀刚), et al. *Chin. J. Lumin. (Faguang Xuebao)*, **2008**,*29*(4):689-694
- [11] Hoppe H A, Lutz H, Morys P. *Phys. Chem. Solid.*, **2000**,*61*(12):2001-2006
- [12] Xie R J, Hirosaki N, Suehiro T, et al. *Chem. Mater.*, **2006**,*18*(23):5578-5583
- [13] Teng X M, Zhuang W D, Hu Y S, et al. *Rare Earths*, **2008**,*26*(5):652-655
- [14] Ueda K, Hirosaki N, Yamamoto Y, et al. *Electrochem. Solid State Lett.*, **2006**,*9*(4):H22-H25
- [15] Piao X Q, Machida K, Horikawa T, et al. *Chem. Mater.*, **2007**,*19*(18):4592-4599
- [16] NI Hai-Yong(倪海勇). *Mater. Res. Appl. (Cailiao Yanjiu Yu Yingyong)*, **2008**,*2*(04):486-489
- [17] ZHANG Mei(张梅), HE Xin(何鑫), DING Wei-Jia(丁维嘉), et al. *Prog. Chem.(Huaxue Jinzhan)*, **2010**,*22*(2/3):376-383
- [18] Kechele J A, Oeckler O, Stadler F, et al. *Solid State Sci.*, **2009**,*11*(2):537-543
- [19] Oeckler O, Stadler F, Schnick W, et al. *Solid State Sci.*, **2007**(9):205-212
- [20] Stadler F, Oeckler O, Hoppe H A, et al. *Chem. Eur. J.*, **2006**,*12*(26):6984-6990
- [21] Yun B G, Miyamoto Y, Yamamoto H. *J. Electrochem. Soc.*, **2007**,*154*(10):J320-J325
- [22] Song Y H, Park W J, Yoon D H, et al. *J. Phys. Chem. Solids.*, **2010**,*71*(4):473-475
- [23] Hoppe H A, Stadler F, Oeckler O, et al. *Angew. Chem. Int. Ed.*, **2004**,*43*(41):5540-5542
- [24] Zhang M, Wang J, Zhang Z, et al. *Appl. Phys. B: Lasers Opt.*, **2008**,*93*(4):829-835
- [25] BAI Zhao-Hui(柏朝晖), LU Fei-Fei(卢菲菲), YU Jing-Jing(于晶晶), et al. *Chinese J. Inorg. Chem. (Wuji Huaxue Xuebao)*, **2010**,*26*(06):1003-1007
- [26] Bachmann V, Ronda C, Oeckler O, et al. *Chem. Mater.*, **2009**,*21*(2):316-325